

Численный анализ влияния начальных и внешних условий на ассоциацию искусственных одновалентных атомов

Чэнь Жань (1), Юрий Ожигов (1,2)

Московский Государственный Университет им. М.В.Ломоносова,

Факультет вычислительной математики и кибернетики,

2. Физико-технологический институт РАН им. К.А.Валиева

14 июля 2023 г.

Аннотация

Сцена химической динамики является наиболее важной областью применения компьютерного моделирования. Мы показываем, что электроны перескакивают между потенциальными ямами различной глубины (новые молекулярные орбитали, гибридизованные атомными орбиталями с разными энергиями) под влиянием температуры (фононов) и фотонного явления. Преодолеть экспоненциально растущую вычислительную сложность. В нашей статье мы экспериментировали с алгоритмами выбора пространства состояний.

1 Введение

Квантовая химия Вычисления Сложность вычислений росла экспоненциально и долгое время была трудной проблемой для вычислительной математики. Различные эффекты температуры, электромагнитного поля и декогеренции усложняют процесс и расчет реакции, увеличивая вычислительную нагрузку, например, вращение полярона (например, см.[1]), блокировку фотонов и окружающие оптические полости в Джейнсе. - Роль конечномерных моделей Каммингса (см. [2] и [3]) В статье рассматривается модель Джейнса-Каммингса для электронов, прыгающих между атомами (потенциальные ямы разной глубины).

Направление нашей работы больше связано с коллективными эффектами и сложными химическими сценариями, чем с подробными исследованиями тонкой микроскопии (например, в [4], в рамках модели Гольштейна-Тэвиса-Каммингса, к квантовым рассмотрению многоатомных систем из точки зрения).

Во-первых, мы предполагаем, что в полости КЭД находится пара атомов водорода, образующих молекулу, и один электрон перескакивает между потенциальной ямой, образованной двумя атомами. Поэтому мы используем модель Джейнса-Каммингса (модель JC) для решения уравнения Шредингера(см. [5], [6], [7]):

$$i\hbar|\dot{\Psi}\rangle = H|\Psi\rangle \quad (1)$$

В модели JC гамильтониан H выражается как:

$$H_{JC} = \hbar\omega a^+a + \hbar\omega\sigma^+\sigma + g(\sigma^+ + \sigma)(a + a^+) \quad (2)$$

где a, a^+ - полевые операторы уничтожения и рождения фотона, а σ, σ^+ - операторы релаксации и возбуждения атома. В случае слабых взаимодействий в химических реакциях аппроксимируется $g/\omega \ll 10^{-2}$, поэтому для гамильтониана H можно использовать приближение RWA:

$$H_{JC}^{RWA} = \hbar\omega a^+a + \hbar\omega\sigma^+\sigma + g(\sigma^+a + \sigma a^+), \quad (3)$$

Мы также используем уравнения Линдблада для расчета открытых квантовых систем:

$$i\hbar\dot{\rho} = [H, \rho] + i\mathcal{L}(\rho), \mathcal{L}(\rho) = \sum_{i=1}^{N-1} \gamma_i (A_i \rho A_i^+ - \frac{1}{2} \{A_i^+ A_i \rho, \rho A_i^+ A_i\}) \quad (4)$$

Нарушение когерентности выражается как коэффициент декогерентности A_i ([8]).

2 Частоты перехода электронов в потенциальные ямы разной глубины.

На этот раз мы моделируем случай электрона(разная глубина потенциальных ям) в ковалентной связи, образованной атомом кислорода и атомом водорода. Мы хотим наблюдать, как электроны туннелируют между двумя атомами.

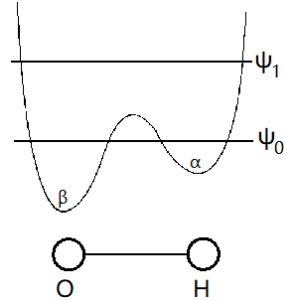


Рис. 1: Основные и возбужденные орбитали

Здесь потенциальная энергия: $\alpha > \beta$, то есть $|\Psi_0\rangle = \frac{\alpha|O\rangle + \beta|H\rangle}{\sqrt{\alpha^2 + \beta^2}}$, $|\Psi_1\rangle = \frac{-\beta|O\rangle + \alpha|H\rangle}{\sqrt{\alpha^2 + \beta^2}}$
где $|O\rangle$ и $|H\rangle$ — орбитали возбужденного состояния атомов кислорода и водорода соответственно.

2.1 Гамильтониан и операторы

a^+ - оператор рождения фотона, a -оператор уничтожения фотонов.

σ^+ - атомный оператор возбуждения, σ – атомный оператор релаксации

$$H = \hbar\omega a_\omega^+ a_\omega + \hbar\omega \sigma_\omega^+ \sigma_\omega + g_{mol}(a_\omega^+ \sigma_\omega + a_\omega \sigma_\omega^+)$$

2.2 Решение для вычислительного математического анализа

Мы используем эту формулу для расчета того, как квантовое состояние изменяется со временем под влиянием гамильтониана H (см.[10]):

$$|\Psi(t)\rangle = \sum_j e^{-\frac{i}{\hbar}E_j t} \lambda_j |\psi_j\rangle, \text{ где } |\Psi(0)\rangle = |0\rangle_{ph}|O\rangle = \frac{\alpha|0\rangle_{ph}|\Psi_0\rangle - \beta|0\rangle_{ph}|\Psi_1\rangle}{\sqrt{\alpha^2 + \beta^2}}$$

Итак, мы получаем:

$$|\Psi(t)\rangle = \frac{2\alpha^2 + \beta^2(e^{iE_1 t} + e^{iE_2 t})}{2(\alpha^2 + \beta^2)} |0\rangle|O\rangle + \frac{\alpha\beta(e^{iE_1 t} - e^{iE_2 t})}{2(\alpha^2 + \beta^2)} |1\rangle|O\rangle + \frac{2\alpha\beta - \alpha\beta(e^{iE_1 t} + e^{iE_2 t})}{2(\alpha^2 + \beta^2)} |0\rangle|H\rangle + \frac{-\beta^2(e^{iE_1 t} - e^{iE_2 t})}{2(\alpha^2 + \beta^2)} |1\rangle|H\rangle$$

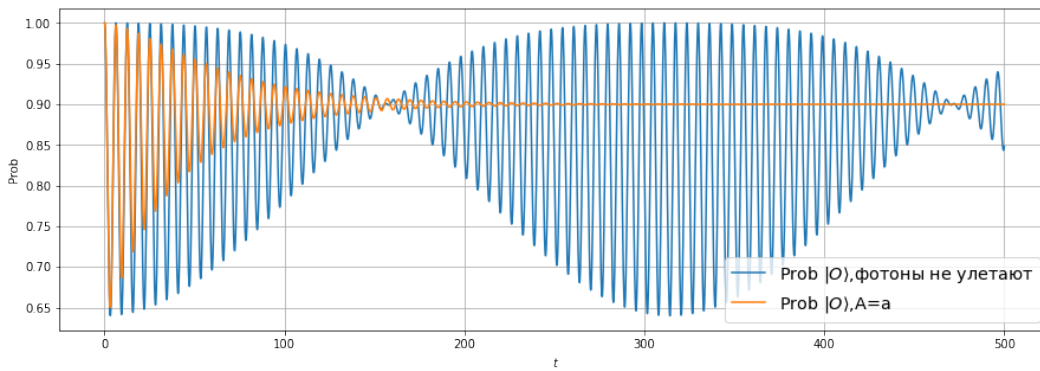


Рис. 2: Вероятность $P(|O\rangle)$ появления электронов в кислородном яме

где $P(|O\rangle)$ (есть убегающие фотоны и декогеренция $A=a$) стремится к $y = \alpha^2$. Мы видим, что электроны имеют большую вероятность оказаться в более глубоких потенциальных ямах.

2.3 Пара электронов, туннелирующих в двойной потенциальной яме, образованной атомами О и атомами Н.

Гамильтониан имеет следующий вид:

$$H = \hbar\omega a_{\omega\uparrow}^+ a_{\omega\uparrow} + \hbar\omega a_{\omega\downarrow}^+ a_{\omega\downarrow} + H_\sigma + H_\omega$$

$$H_\sigma = \hbar\omega\sigma_{\omega_1\uparrow}^+\sigma_{\omega_1\uparrow} + \hbar\omega\sigma_{\omega_1\downarrow}^+\sigma_{\omega_1\downarrow} + \hbar\omega\sigma_{\omega_2\uparrow}^+\sigma_{\omega_2\uparrow} + \hbar\omega\sigma_{\omega_2\downarrow}^+\sigma_{\omega_2\downarrow}$$

$$H_\omega = g_{mol}(a_{\omega\uparrow}^+(\sigma_{\omega_1\uparrow} + \sigma_{\omega_2\uparrow}) + a_{\omega\uparrow}(\sigma_{\omega_1\uparrow}^+ + \sigma_{\omega_2\uparrow}^+) + a_{\omega\downarrow}^+(\sigma_{\omega_1\downarrow} + \sigma_{\omega_2\downarrow}) + a_{\omega\downarrow}(\sigma_{\omega_1\downarrow}^+ + \sigma_{\omega_2\downarrow}^+))$$

Для удобства расчетов будем считать, что направления спинов двух электронов противоположны и не меняют направление спина. $|\Psi_{start}\rangle = |0\rangle_{ph\uparrow}|0\rangle_{ph\downarrow}|O\uparrow\rangle|H\downarrow\rangle$

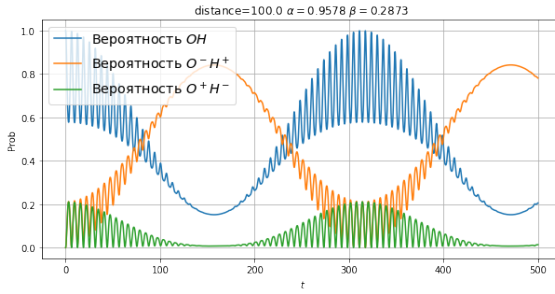


Рис. 3: Вероятность появления 2 электронов, декогеренции нет.

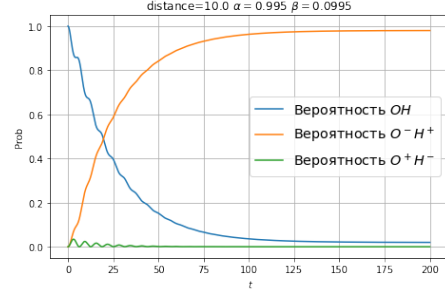


Рис. 4: Есть декогеренции А=а.

Здесь мы видим, что туннелирование электронов все же периодически меняется, а амплитуда связана с потенциальными энергиями α и β . Поскольку $\alpha > \beta$, амплитуда $P(O^-H^+)$ больше, чем у $P(O^+H^-)$. Средняя амплитуда $P(OH)$ наибольшая (один электрон находится в потенциальной яме атома кислорода, а другой электрон находится в потенциальной яме атома водорода), что означает, что атомы кислорода и водорода остаются электрически нейтральный. Чем больше $P(OH)$, тем прочнее связь.

В случае выхода фотона(см.[9]), если $\alpha \gg \beta$, когда время $t \rightarrow \infty$ мы имеем: $P(O^-H^+) = \alpha^4 \gg P(OH) = 2\alpha^2\beta^2 \gg P(O^+H^-) = \beta^4$

3 Моделирование влияния температуры на образование связей в жидкостях с помощью фононов

В этой части мы учтем влияние фононов (температуры, кинетической энергии и т. д.) на связь. Предположим, что атомы аккуратно расположены на сетке и могут двигаться только в небольшом диапазоне (например, наблюдаемый объект — твердое тело или жидкость). Всего k строк * k столбцов = N атомов.

Мы предполагаем, что каждый атом может двигаться только в четырех направлениях вверх, вниз, влево и вправо, когда целевая позиция движения не занята другими атомами (между ядрами будет возникать кулоновская сила отталкивания, когда расстояние слишком близко).

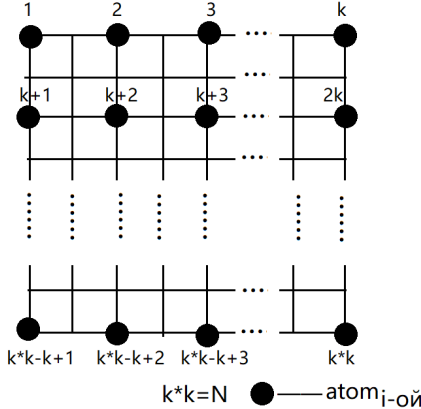


Рис. 5: Атомы расположены в сетке.

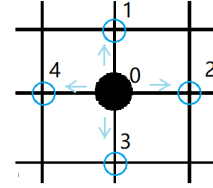


Рис. 6: 4 направления.

3.1 Операторы и гамильтонианы

b : Фононный оператор

Гамильтонианы: $H = H_{tun} + H_{cov} + \hbar\omega b^+ b + \hbar\omega\sigma_{cov}^+\sigma_{cov}$

$H_{tun}(ati) = g_{tun} \sum_{j=1}^4 (\sigma_{0 \rightarrow j} + \sigma_{j \rightarrow 0}) check_{cov}(ati)$

$H_{cov} = g_{cov} \sum_i^{sum_{cov}} b^+ \sigma_{cov_i} + b \sigma_{cov_i}^+$

Описание каждого состояния: $|b\rangle_{phono}|pos_1\rangle|pos_2\rangle\dots|pos_N\rangle|cov_1\rangle\dots|cov_M\rangle$

3.2 Результаты численного расчета

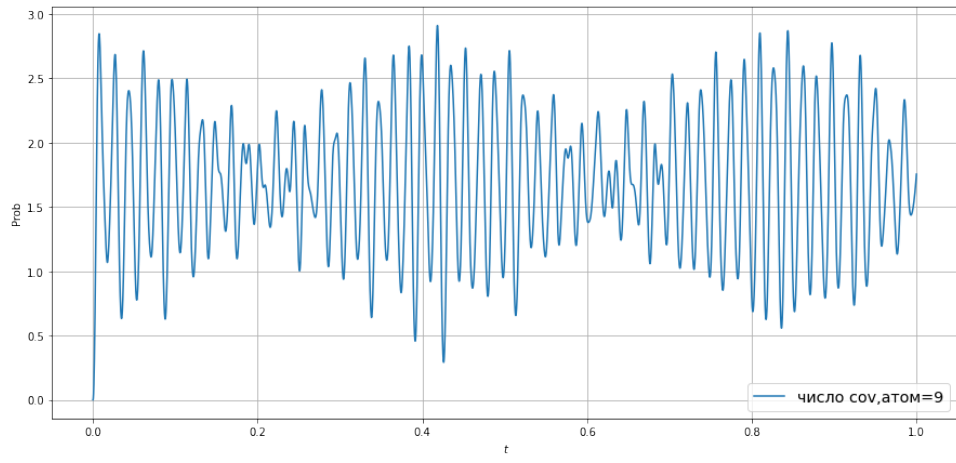


Рис. 7: Ожидание формирования связи меняется со временем.

Мы видим, что изображение периодически меняется, примерно симметрично относительно $y=1.75$. Обозначим эту ось симметрии как $y = k$. А в случае некоторого изначально заданного числа фононов, как бы ни увеличивали коэффициент g_{cov} гамильтониана, эта ось $y = k$ почти не меняется, и лишь незначи-

тельно изменяет колебание кривой частоты. Следовательно, мы можем знать, что интервал изменения ожидаемого значения связан только с температурой (количеством фононов).

4 Рассмотрим как фотонное, так и фононное воздействие на химические связи.

Рассмотрим случай, когда молекулы воды образуют водородные связи. Как показано на рисунке ниже, часть «-ОН» в одной молекуле воды соединяется с атомом кислорода в другой молекуле воды, образуя водородную связь. Атомы могут изменять свое расстояние друг от друга, двигаясь.

Каждый атом имеет электрон, участвующий в связи. Таким образом, в расчете участвуют 3 электрона. Два атома кислорода помечены как « O_1 » и « O_2 » соответственно. Орбиталь первого атома кислорода гибридизуется с орбиталью атома водорода с образованием двух энергетических уровней Ψ_1^1 и Ψ_0^1 , орбиталь второго атома кислорода гибридизуется с орбиталью водорода атома с образованием Ψ_1^2 и Ψ_0^2 — два энергетических уровня. Исходя из этого, мы используем следующий гамильтониан для расчета:

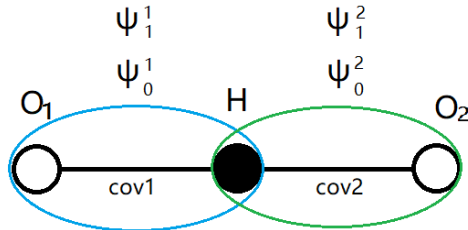


Рис. 8: Группа -ОН образует водородную связь с другим атомом кислорода.

Гибридизационные орбитали каждой пары $|\Psi_1^1\rangle$ и $|\Psi_0^1\rangle$ ортогональны друг другу, что выражается следующей формулой:

$$|\Psi_0^i\rangle = \frac{\alpha|O_i\rangle + \beta|H\rangle}{\sqrt{\alpha^2 + \beta^2}}, \quad |\Psi_1^i\rangle = \frac{-\beta|O_i\rangle + \alpha|H\rangle}{\sqrt{\alpha^2 + \beta^2}}, \quad i = 1, 2$$

4.1 Операторы и гамильтонианы

σ_{mol_i} : Операторы, изменяющие уровни энергии электрона

$$\sigma_{mol_i}^+ |\Psi_0^i\rangle = |\Psi_1^i\rangle, \quad \sigma_{mol_i}^- |\Psi_1^i\rangle = |\Psi_0^i\rangle, \quad i = 1, 2$$

σ_{tun_i} : Туннельный оператор i -го атома. Расстояние между атомами может взаимно изменяться, и два атома могут образовать химическую связь только тогда, когда они находятся на близком расстоянии.

σ_{spin} : Операторы спина электрона.

Гамильтонианы:

$$H = H_{tun} + H_{cov} + H_{spin} + H_{mol} + \hbar\omega b^\dagger b + \hbar\omega a_{mol}^\dagger a_{mol} + \hbar\omega a_{spin}^\dagger a_{spin} + \sum \hbar\omega \sigma_{cov_i}^+ \sigma_{cov_i}^-$$

Исходное состояние:

$$|\Psi(0)\rangle = |2\rangle_{a_{mol}}|1\rangle_{a_{spin}}|1\rangle_b|\Psi_0^1 \uparrow\rangle_{O_1}|\Psi_1 \uparrow\rangle_H|\Psi_0^2 \downarrow\rangle_{O_2}|not, close\rangle_{cov_1}|exist, close\rangle_{cov_1}$$

4.2 Результаты численного расчета

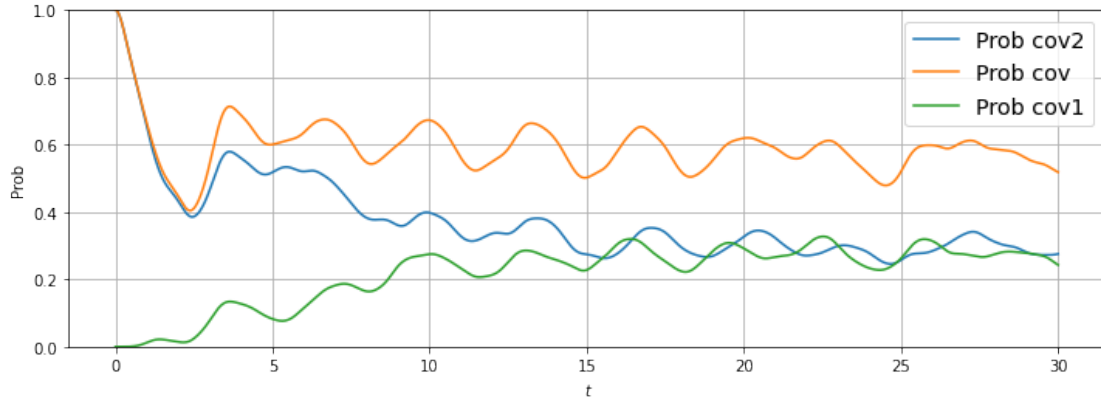


Рис. 9: График зависимости вероятности образования связи от времени.

5 Алгоритм выбора пространства состояний

Когда количество состояний велико, расчеты становятся очень тяжелыми. Следовательно, мы можем выбрать часть состояний с большей амплитудой в пространстве всех состояний для моделирования исчисления.

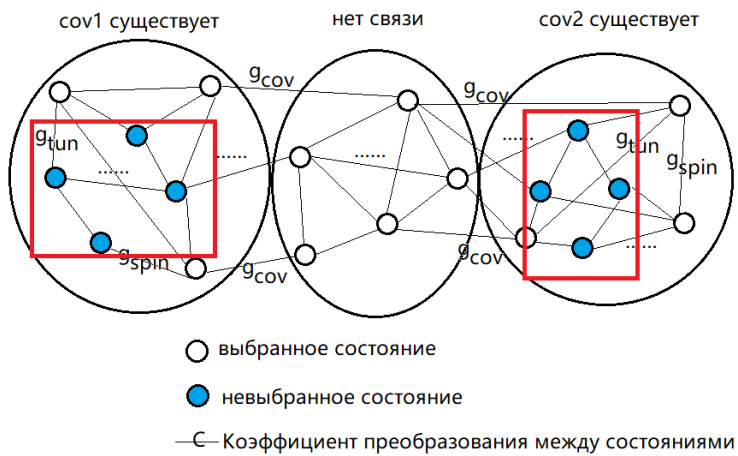


Рис. 10: Часть состояний с большей амплитудой

Каждый круг представляет состояние. Линии между состояниями означают, что их можно напрямую преобразовать друг в друга, а числа на линиях —

это коэффициенты (гамильтоновы величины). Из рис. 8 мы можем легко разделить все состояния на три категории: наличие первой связи, наличие второй связи и отсутствие связи (всего три электрона). Однако в процессе выбора некоторые состояния имеют небольшие амплитуды, но оказывают большое влияние на выбранное состояние (часть «не cov» на рисунке ниже). Если мы выберем состояние только в соответствии с силой амплитуды и сохраним только отношение преобразования между выбранными состояниями, мы получим «несвязанный» график:

Поэтому мы выбрали метод оптимизации:

Шаг 1: Каждый раз проверяйте связность графа

Шаг 2: Если граф не связан, добавьте все «соседние состояния» $|\Psi_{neigh}\rangle$ выбранного состояния в набор и вернитесь к шагу 1 для зацикливания; Если граф связан, то завершаем цикл и используем эти выбранные состояния для вычислений.

$|\Psi_{neigh}\rangle$ некоторого состояния $|\Psi\rangle$: состояние, которое может напрямую трансформироваться с этим состоянием через гамильтониан H , то есть $H|\Psi\rangle = \sum_i \lambda_i |\Psi_{neigh_i}\rangle$

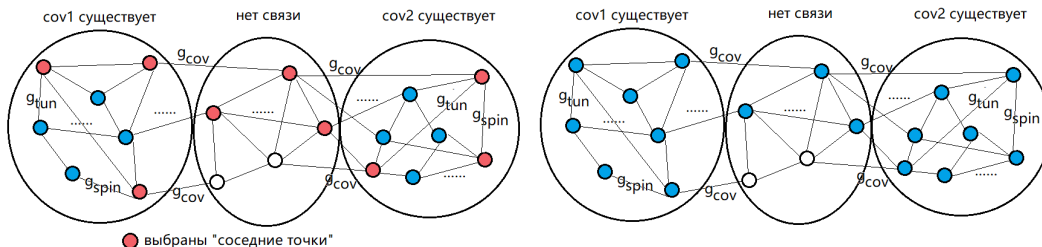


Рис. 11: Выбраны соседние точки.

Рис. 12: Новый связный граф.

5.1 Результаты численного расчета

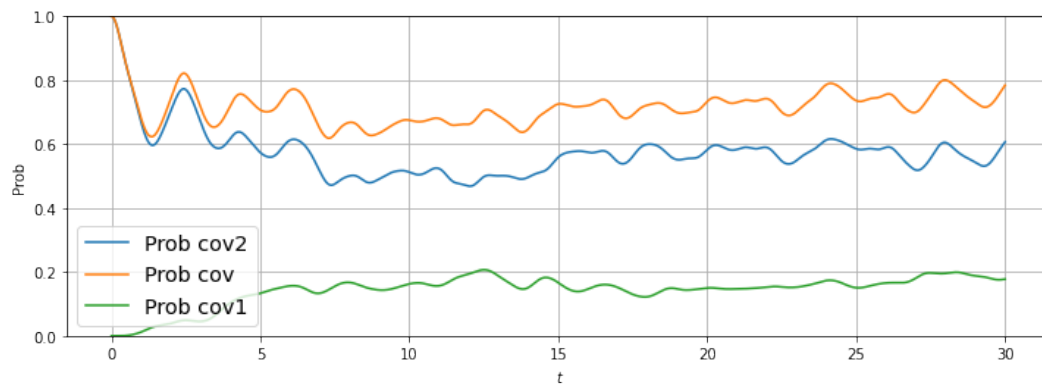


Рис. 13: График зависимости ожидаемого количества образовавшихся связей от времени(с использованием уменьшенного пространства состояний).

После сравнения мы обнаружили, что аналогичные тренды кривых можно получить, используя сокращенное пространство состояний, что очень полезно для изучения эволюции между состояниями. Но недостатком является то, что использование нового пространства состояний изменит положение финальной стабильной флюктуации кривой. Это показывает, что алгоритм выбора пространства состояний еще нуждается в улучшении.

6 Вывод

С квантовой точки зрения мы наблюдаем явление прыжков электронов между атомами на гибридной орбитали под действием света и температуры. Прыжки электронов, в свою очередь, влияют на образование химических связей и появление ионов. Мы используем фононы для участия в образовании химических связей. Из-за влияния глубины потенциальной ямы вероятность появления электронов вблизи атомов кислорода больше, что объясняет, почему легче образуются ионы водорода H^+ . Затем мы показываем трансформацию положения гидроксила за счет перескока электронов в случае взаимной гибридизации орбиталей между гидроксильной группой и другим атомом кислорода. Это показывает, что когда большое количество молекул воды расположено регулярно (например, в кристаллическом состоянии, таком как лед), молекулярная структура может гибко изменяться. Наконец, мы использовали алгоритм выбора пространства состояний. Картинки в статье — результат выбора 1/5 размера исходного пространства состояний, что значительно снижает вычислительную нагрузку и может значительно повысить эффективность. Потому что вычислительная сложность растет экспоненциально с увеличением пространства состояний. Еще есть возможности для дальнейшего совершенствования алгоритма. Текущая версия может прекрасно восстанавливать форму и тренд кривой, но из-за редукции состояния конечное устойчивое значение кривой будет изменено, и ожидается, что быть улучшена в будущем.

Список литературы

- [1] Francesca Fassoli, Kyu Hyung Park, Sarah E. Bard, Gregory D. Scholes, Femtosecond Photophysics of Molecular Polaritons, *J. Phys. Chem. Lett.* 2021, 12, 46, 11444, <https://doi.org/10.48550/arXiv.2302.05670>
- [2] Li-Bao Fan, Chuan-Cun Shu, Daoyi Dong, Jun He, Niels E. Henriksen, Franco Nori, Quantum Coherent Control of a Single Molecular-Polariton Rotation, accepted by *Physical Review Letters* on 19 December, 2022, <https://doi.org/10.48550/arXiv.2212.11649>
- [3] Eric W. Fischer, Janet Anders, Peter Saalfrank, Cavity-Altered Thermal Isomerization Rates and Dynamical Resonant Localization

in Vibro-Polaritonic Chemistry, J. Chem. Phys. 156, 154305 (2022),
<https://doi.org/10.48550/arXiv.2109.13574>

- [4] David Wellnitz, Guido Pupillo, Johannes Schachenmayer, Disorder enhanced vibrational entanglement and dynamics in polaritonic chemistry, Commun Phys 5, 120 (2022), <https://doi.org/10.48550/arXiv.2107.06053>
- [5] F. Herrera and F. C. Spano, Cavity-Controlled Chemistry in Molecular Ensembles, Phys. Rev. Lett. 116, 238301 (2016).
- [6] J. A. Cwik, S. Reja, P. B. Littlewood, and J. Keeling Polariton condensation with saturable molecules dressed by vibrational modes, EPL 105, 47009, (2014).
- [7] F. Herrera and F. C. Spano, Theory of nanoscale organic cavities: The essential role of vibration-photon dressed states, ACS Photonics 5, 65 (2018).
- [8] H. Breuer and F. Petruccione, The Theory of Open Quantum Systems, Oxford (2002).
- [9] Ozhigov Y.I., Kulagin A.V., Afanasiev V.Y., Keli Z., Vanshun L., Huihui M., Victorova N.B., About Chemical Modifications of Finite Dimensional QEDModels, Nonlinear Phenomena in Complex Systems, vol. 24, N3, pp.230-241, doi:10.33581/1561-4085-2021-24-3-230-241.
- [10] Michael Thomas Tavis, A Study of an N Molecule Quantized-Radiation-Field Hamiltonian, Dissertation, <https://arxiv.org/abs/1206.0078>.